

# 爐渣氧化鐵含量对脫硫的作用\*

魏 斧 崑

(北京鋼鐵學院)

根据由炉渣完全离子化理論导出的硫分配比公式：

$$\frac{(\%S)}{[\%S]} = \frac{2.56 f_S}{f_{S^{--}}} \cdot \frac{\Sigma n_+ \Sigma n_-}{n_{FeO}},$$

在充分引用活度系数的条件下，研究炉渣氧化鐵含量对脫硫的作用。文內采用三种碱度的炉渣进行了計算，結果證明文献內前人对 FeO 作用四种分歧的評价不是相互矛盾的，而相反地是有内在联系的；它們說明 FeO 在不同条件下显示不同的作用，而这些不同的作用都可用上列硫分配比公式统一地表示出来。最后，对该公式能否适用于碱性化铁炉及侧吹碱性轉炉炉渣，以及对该公式存在的某些缺点和問題进行了討論。

炉渣氧化鐵含量对脫硫的作用，文献上存有分歧的結論。早在 1934 年 Bardenhauer 和 Geller<sup>[1]</sup> 即指出純氧化鐵有股硫作用，1600℃ 时硫的分配比  $(\%S)/[\%S]$  为 3.6。Grant 和 Chipman<sup>[2]</sup> 研究平炉渣的脫硫作用，指出渣中氧化鐵含量在 3—70% 范围内变化对硫分配比沒有影响。但高炉渣<sup>[3]</sup> 及电炉渣<sup>[4]</sup> 脫硫的研究均指出氧化鐵含量愈低，硫分配比愈高。利用平炉渣数据，Bishop, Lander, Grant 和 Chipman<sup>[5]</sup> 又进行处理分析，确定在碱度  $(N_{CaO} + N_{MgO} + N_{MnO})/(N_{SiO_2} + N_{Al_2O_3} + N_{P_{2O_5}})$  小于 2.4 范围內，炉渣氧化鐵含量增高，则硫分配比加大。Rocca, Grant 和 Chipman<sup>[4]</sup> 曾根据分子理論討論了氧化鐵含量对硫分配比的影响，但他們未能成功地用一种脫硫反应或一个硫分配比公式统一地解釋上述氧化鐵的四种分歧的作用。Самарин, Шварцман 和 Темкин<sup>[6]</sup> 利用炉渣完全离子化理論，用計算証实純氧化鐵渣的硫分配比为 3.6。Борнацкий<sup>[7]</sup> 对碱度为 2 的炉渣进行同样的計算，証明当氧化鐵由 20% 降到 10% 时，硫分配比无大变化，但当氧化鐵低于 7% 时，则硫分配比有显著的增大，而当氧化鐵为 1% 时，硫分配比达 25.5。他的計算未联系到純氧化鐵渣的脫硫作用，同时更未考慮到，在某些一定情况下，氧化鐵含量愈高，脫硫作用愈好。本文旨在通过理論計算，証明由炉渣完全离子化理論导出的硫分配比公式，在引用活度系数的条件下，可以统一地解释上列四种分歧的結論，并对该公式在冶炼工艺实践应用上作进一步的討論。

众所周知<sup>[8, 9, 10]</sup>，铁液內  $[S]$  按分配定律进入炉渣：



而炉渣內  $Fe^{++}$  結合  $O^{--}$  又按分配定律进入铁液：



所以脫硫反应可写为：

\* 本文于 1963 年 4 月 26 日收到。

• 本文曾在 1962 年 12 月全国第一次冶金过程物理化学学术报告会上宣读。



或  $[\text{S}] + (\text{O}^-) = (\text{S}^-) + [\text{O}], \quad (3)$

假定炉渣内酸根离子有  $\text{SiO}_4^{4-}$ ,  $\text{AlO}_4^{4-}$  和  $\text{PO}_4^{4-}$ , 则无论根据式(1)抑式(3)均可导出:

$$\frac{(\% \text{S})}{[\% \text{S}]} = \frac{32 L_s f_s}{\gamma_{\text{S}^-}} \cdot \frac{\Sigma n_+ \Sigma n_-}{n_{\text{FeO}}}, \quad (4)$$

式中:  $\Sigma n_+ = n_{\text{CaO}} + n_{\text{MgO}} + n_{\text{MnO}} + n_{\text{FeO}}$ ;

$$\Sigma n_- = n_{\text{CaO}} + n_{\text{MgO}} + n_{\text{MnO}} + n_{\text{FeO}} - n_{\text{SiO}_2} - n_{\text{Al}_2\text{O}_3} - n_{\text{P}_2\text{O}_5} + n_{\text{S}}$$

各克分子数  $n$  均指 100 克炉渣内各组份的克分子数;

$L_s$ ——硫的分配常数, 用式(5)表示:

$$L_s = \frac{\gamma_{\text{Fe}} + N_{\text{Fe}} + \gamma_{\text{S}^-} - N_{\text{S}^-}}{[\% \text{S}]}; \quad (5)$$

$f_s$ ——铁液内硫的活度系数;

$\gamma_{\text{S}^-}$ ——渣液内硫离子的活度系数,

而  $\lg \gamma_{\text{S}^-} = 1.53 \Sigma N_{\text{SiO}_4^{4-}} - 0.17^{[8]}$ ,  $(6)$

$$\Sigma N_{\text{SiO}_4^{4-}} = \frac{n_{\text{SiO}_2} + 2 n_{\text{P}_2\text{O}_5} + 2 n_{\text{Al}_2\text{O}_3}}{\Sigma n_-}. \quad (7)$$

各式中的克分子分数  $N$  均按 ТЕМКИН 法<sup>[9]</sup>计算。

根据文献<sup>[6]</sup>,  $L_s = 0.052 - 0.095$ . 如按  $L_s = 0.08$  计算, 则式(4)变为:

$$\frac{(\% \text{S})}{[\% \text{S}]} = \frac{2.56 f_s}{\gamma_{\text{S}^-}} \cdot \frac{\Sigma n_+ \Sigma n_-}{n_{\text{FeO}}}. \quad (8)$$

作者选定三种不同碱度的, 符合碱性化铁炉、侧吹碱性转炉及平炉典型操作的炉渣, 其成分见表 1, 并依式(8)计算硫分配比。在计算时, 炉渣的氧化铁含量作适当的变更, 而其它氧化物的比例, 包括碱度, 则基本上维持不变。计算的实例另行发表<sup>[10]</sup>, 计算的综合结果见表 2。为了相互比较起见,  $f_s$  都按 1 计算。图 1 及 2 分别给出  $\Sigma n_+ \Sigma n_- / n_{\text{FeO}}$  和  $(\% \text{S}) / [\% \text{S}]$  对  $(\% \text{FeO})$  的关系。

表 1 计算用的炉渣成分

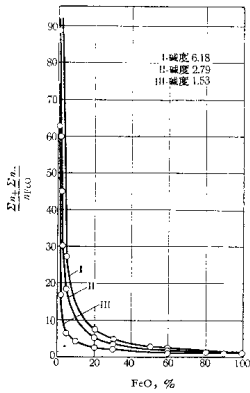
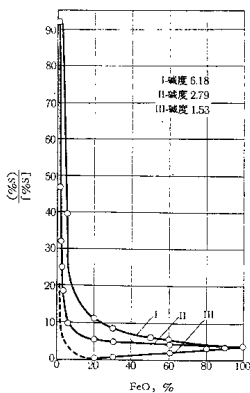
炉 渣	炉 渣 成 分, %							$\frac{\%(\text{CaO} + \text{MgO})}{\%(\text{SiO}_2 + \text{P}_2\text{O}_5)}$	
	$\text{SiO}_2$	$\text{P}_2\text{O}_5$	$\text{Al}_2\text{O}_3$	$\text{CaO}$	$\text{MgO}$	$\text{MnO}$	$\text{FeO}$		
碱性化铁炉	23.9	—	5.95	49.75	16.90	1.0	1.0	1.5	2.79
侧吹碱性转炉	5.3	3.5	6.3	43.6	10.8	—	30.0	0.5	6.18
平 炉	14.8	1.4	1.6	41.3	4.1	6.6	30.0	0.2	2.80
平 炉	26.2	—	3.5	35.1	5.0	—	30.0	0.2	1.53

由理论计算得到下列结论:

(1) 氧化铁对  $\Sigma n_+ \Sigma n_- / n_{\text{FeO}}$  起着双方作用, 但由于  $n_{\text{FeO}}$  对分母所引起的作用较大, 总的来讲, 随着  $n_{\text{FeO}}$  的增加,  $\Sigma n_+ \Sigma n_- / n_{\text{FeO}}$  值逐渐变小。这说明增加炉渣氧化铁含量对脱硫在绝大多数情况下(低碱度炉渣除外)是不利的。当  $n_{\text{FeO}}$  增加时,  $\Sigma n_+ \Sigma n_- / n_{\text{FeO}}$

表 2 不同碱度时  $\Sigma n_+ \Sigma n_- / n_{FeO}$  和碱分配比对 % FeO 的关系

项 目 碱 度 % FeO	$\Sigma n_+ \Sigma n_- / n_{FeO}$			$(\%S)/[\%S]$		
	1.53	2.79	6.18	1.53	2.79	6.18
0.5	62.6	176.0	—	—	92.1	—
1.0	—	89.3	—	—	47.1	—
1.5	—	59.2	—	—	32.2	—
2.0	16.5	44.6	—	—	24.8	—
3.0	—	29.7	—	—	16.5	—
5.0	5.78	17.9	26.9	—	10.2	39.5
10	4.02	—	—	—	—	—
20	2.46	4.91	6.80	0.3	5.6	11.1
30	1.97	3.50	4.57	0.6	5.1	8.6
50	—	—	2.74	—	—	6.3
60	1.50	1.98	2.30	2.0	4.5	5.9
80	1.42	—	—	3.5	—	—
90	1.41	—	—	3.6	—	—
100	1.39	1.39	1.39	3.6	3.6	3.6

图 1  $\frac{\Sigma n_+ \Sigma n_-}{n_{FeO}}$  对 %FeO 的关系图 2  $\frac{(\%S)}{[\%S]}$  对 %FeO 的关系

值的下降率是不一致的。当  $FeO < 2\text{--}3\%$  时, 每增加  $0.5\%$   $FeO$  使  $\Sigma n_+ \Sigma n_- / n_{FeO}$  值大大地下降; 当  $FeO > 10\text{--}20\%$  时,  $\Sigma n_+ \Sigma n_- / n_{FeO}$  值下降率较缓; 而当  $FeO > 50\text{--}60\%$  时,  $\Sigma n_+ \Sigma n_- / n_{FeO}$  值下降率更缓, 几乎接近一常数而不变。

(2) 比較图 1 内 I, II 及 III 三条曲綫, 可以看出, 当氧化鐵含量相同时, 碱度愈大, 則  $\Sigma n_+ \Sigma n_- / n_{\text{FeO}}$  值愈大, 这說明炉渣的碱度增高对脱硫有利。

(3) 研究脱硫作用或硫分配比时, 在一定炉渣碱度下, 不能孤立地只考慮氧化鐵的作用, 必須把鉄液內硫的活度系数  $f_s$  和渣液內硫离子的活度系数  $\gamma_s$ —全面地一并考虑。隨着成分的不同, 生铁的  $f_s = 3 - 6$ , 由式(6)表示的  $\gamma_s$ —是按平炉类型的炉渣推出, 在本計算中假定也适用于碱性化铁炉、碱性轉炉, 甚至低碱度类型的炉渣。 $\gamma_s$ —对硫分配比有很大影响。它可抵消一部分, 甚至大部分  $\Sigma n_+ \Sigma n_- / n_{\text{FeO}}$  值对脱硫的有利作用。对高碱度的炉渣, 隨着氧化鐵的增加, 一般來講,  $\Sigma n_+ \Sigma n_- / n_{\text{FeO}}$  值是下降的。但对低碱度的炉渣, 隨着氧化鐵的增加,  $\Sigma n_+ \Sigma n_- / \gamma_s - n_{\text{FeO}}$ , 因之硫分配比, 在一定范围内是可能上升的, 計算中碱度 1.53 的炉渣(图 2 曲綫 III)便是如此。但在这种情况下, 縱然硫分配比隨氧化鐵的增加而上升, 但它的最高值也不超过純氧化鐵炉渣的 3.6, 此值远較高碱度炉渣的硫分配比为小。

明显地可以看出, 根据炉渣完全离子化理論和活度系数的引用, 氧化鐵对脱硫的作用可以較全面地予以解释。不同学者对不同氧化鐵含量对脱硫作用的不同估价, 正如文献提出的四种分歧的結論, 实际上不是相互矛盾, 而是有内在联系的。它們說明氧化鐵在不同条件下显示不同的作用, 这些不同作用都可用式(8)統一地表示出来。

上面提到的 Борнацкий<sup>[7]</sup> 的理論計算采用了同样的方法, 但他未計算含 20—100% FeO 的炉渣, 也未采用  $\gamma_s$ —; 因之, 他未发现  $\gamma_s$ —对低碱度渣在一定范围内有促使硫分配比升高的影响。

显然, 图 2 中曲綫 III 指出硫分配比有一最低值。計算証明, 出現最低值的碱度随炉渣成分不同而不同, 同时相当于最低值的 % FeO 也随炉渣成分而异。进一步的計算指出, 曲綫 III 在高氧化鐵区域尚出現一“鴕峯”, 但此鴕峯值大于 3.6 不多, 所以一般來說, 可認為低碱度渣的硫分配比是逐步上升到 3.6 的(參閱表 3 以純 CaO-FeO-SiO<sub>2</sub> 三元系炉渣計算的結果)。

表 3 純 CaO-FeO-SiO<sub>2</sub> 炉渣的硫分配比对 % FeO 的关系

项目 碱度	(%) / [%S]		
	2.0	2.5	2.8
1	19.2	—	—
5	2.8	8.4	12.7
10	1.2	5.2	6.2
20	—	3.8	5.1
30	—	3.5	4.4
40	—	3.5	4.1
60	2.6	3.8	4.4
70	3.6	4.2	4.4
80	3.9	4.0	4.1
90	3.7	3.7	3.8
100	3.6	3.6	3.6

对炼鋼工艺來說, 增加炉渣氧化鐵含量意味着提高金属鐵的消耗, 因之, 某些炼鋼工作者企图用提高炉渣氧化鐵含量以增加脱硫作用是值得商榷的。

在二氧化硅以 SiO<sub>4</sub><sup>4-</sup> 形态存在于渣中的假定下, 式(8)不能应用于高氧化硅含量的炉渣。当 SiO<sub>2</sub> > 30% 时, 則  $\Sigma \text{SiO}_4^{4-} > 1$  而 N<sub>o</sub>—成負值, 再用式(6)以計算  $\gamma_s$ —即不合理。图 2 曲綫 III 不能用式(8)計算的部分用虛綫示意地表示出來。对于一般含二氧化硅高于 30% 的高炉渣, 如欲利用式(8)計算硫分配比, 則必

表4 碱性化铁炉渣碱度资料

炉号	炉号	生铁配入 Si, %	脱硫率, %			炉渣成分, %			炉渣成分, %			(%)					
			C	Si	P	O <sub>2</sub>	MgO	MnO	2MnO	SiO <sub>2</sub>	Al <sub>2</sub> O <sub>3</sub>	FeO	S	实际 dt%			
3-198	1399	0.66	3.40	0.39	1.90	0.405	0.057	11.73	18.17	0.34	2.60	27.4	6.50	1.0	1.45	26.3	36.3
3-199	1400	0.66	3.48	0.21	0.92	0.39	0.19	47.08	16.49	0.51	2.20	25.46	6.40	1.0	1.94	10.2	41.6
4-205	1390	0.96	2.61	0.25	1.78	0.45	0.24	40.20	16.41	0.63	0.80	41.10	6.80	1.0	3.74	15.5	22.6
3-18A-210	1375	0.96	2.54	0.27	1.55	0.42	0.16	47.59	13.55	0.37	0.65	31.00	4.80	0.58	3.71	22.8	41.4
3-21A-213	1340	1.76	2.68	0.22	1.90	0.36	0.16	45.17	15.12	0.46	1.63	28.70	5.40	1.0	4.30	41.6	33.0
2-8-82-1	1495	0.58	3.41	0.11	1.12	0.34	0.13	48.45	17.12	0.46	1.43	24.70	4.80	—	1.49	124.0	95.0
美国 <sup>131</sup>	5	—	3.00	—	—	0.07	0.07	41.12	19.6	1.2	1.8	28.6	6.5	—	0.56	11.9	19.4
6	—	—	(总计)	—	—	0.029	0.029	32.5	28.6	0.6	2.9	26.0	9.2	—	1.26	42.0	21.6
7	—	—	—	—	—	0.071	0.071	40.3	23.2	0.6	2.0	25.8	6.5	—	3.08	36.0	50.3
8	—	—	—	—	—	0.016	0.016	62.4	9.0	0.4	18.8	12.5	—	—	2.30	250.0	268.0

表5 副吹碱性转炉脱硫资料

来碳	炉号	试样	脱硫率, %			炉渣成分, %			炉渣成分, %			(%)					
			C	Si	P	O <sub>2</sub>	MgO	MnO	2MnO	SiO <sub>2</sub>	Al <sub>2</sub> O <sub>3</sub>	FeO	S	实际 dt%			
唐山 <sup>140</sup>	5-1118	不留渣法, 氧化渣	0.05	0.18	—	0.024	0.038	46.60	5.31	6.97	23.50	13.06	1.20	3.60	0.203	5.3	7.3
1-1637	不留渣法, 扒渣渣	3.33	0.36	0.14	0.605	0.067	49.80	6.80	5.81	5.20	25.86	2.97	2.86	0.287	4.3	9.0	
3-836	留渣筑渣法, 混合渣	3.35	0.36	0.14	0.605	0.067	43.36	7.91	5.64	12.50	18.58	2.13	4.81	0.292	4.6	19.5	
9-822	留渣法, 氧炼31分后样	0.51	0.31	0.02	0.051	0.096	47.19	6.40	6.26	13.08	8.76	—	16.85	0.105	1.1	8.0	
9-822	留渣法, 氧炼36分后样	0.10	0.22	0.10	0.065	0.065	47.42	8.50	5.68	16.04	8.20	—	18.27	0.180	2.8	6.8	
9-824	不留渣法, 氧炼28分后样	0.47	0.14	0.02	0.058	0.071	46.20	5.20	3.55	21.60	6.00	—	12.65	0.300	4.2	7.6	
9-823	不留渣法, 氧炼32分后样	0.04	0.10	0.08	0.050	0.054	42.20	6.00	5.42	31.60	5.40	—	10.85	0.214	4.0	7.4	
3-548	后吹试验, 析渣后第1次样	0.06	—	—	0.046	0.055	27.80	7.71	0.97	48.80	6.64	2.86	4.49	0.172	3.1	4.8	
4-2541	留渣法, 析渣后第2次样	0.07	—	—	0.013	0.055	38.46	9.00	0.70	53.20	12.28	0.81	3.09	0.122	2.3	6.0	
4-2532	留渣法, 析渣后第3次样	0.04	—	—	0.019	0.051	38.90	4.87	0.35	41.50	8.54	1.76	2.91	0.202	3.5	6.0	

此为试读, 需要完整PDF请访问: www.ertonge.com

須先確定二氧化硅在渣中的存在形態(可能是更複雜的矽酸根離子,鋁酸根離子也類似),再求出相當於式(6)  $\gamma_s$ —對存在的陰離子的關係。這些問題尚有待進一步的研究,但從理論上推導,利用式(8)計算高爐渣的硫分配比的可能性是存在的。

式(8)符合於平衡狀態。對平爐純沸騰末期的爐液,式(8)基本上是適用的<sup>[7]</sup>。作者利用一些鹼性化鐵爐和側吹鹼性轉爐實際操作的數據根據式(8)進行計算(見表4及表5),得出下列結論:(1)鹼性化鐵爐脫硫反應可認為達到平衡,這和高爐內脫硫反應达不到平衡的情況不同<sup>[10]</sup>;(2)側吹鹼性轉爐實際的硫分配比低於計算值,這可能由於脫硫反應未達平衡,而更主要的原因是由於氣化去硫反應的存在<sup>[15]</sup>。

式(8)的  $L_s$  與溫度有關。純氧化鐵渣硫分配比與溫度的關係,根據較近的資料<sup>[16]</sup>,由式(9)表示:

$$\lg \frac{(\%S)}{[\%S]} = \frac{2620}{T} - 0.827, \quad (9)$$

由式(4)換算得出:

$$\lg L_s = \frac{2620}{T} - 2.476, \quad (10)$$

式(10)指出  $L_s$  隨溫度上升而下降,但根據 Борнацкий<sup>[7]</sup> 的式(11):

$$\lg L_s = -\frac{3160}{T} + 0.46, \quad (11)$$

則  $L_s$  隨溫度上升而增加。這種分歧尚待於進一步的研究。由於  $f_S$  及  $\gamma_s$ — 或多或少地也與溫度有關,由式(8)推論硫分配比與溫度的關係更顯複雜。至於增高溫度引起動力學方面脫硫的影響,以及三氧化鐵能幫助化渣,從而使脫硫反應易于進行,這裡不加討論。

## 結 論

理論計算證明,由爐渣完全離子化理論導出的硫分配比公式:

$$\frac{(\%S)}{[\%S]} = \frac{2.56 f_S}{\gamma_{s--}} \cdot \frac{\Sigma n_+ \Sigma n_-}{n_{FeO}}.$$

在引用活度系數的條件下,可以較全面地解釋文獻中氯化鐵對脫硫的四種不同評價,即:

- (1) 純氯化鐵渣可以脫硫;
- (2) 平爐渣氯化鐵量在 3—70% 范圍變化對硫分配比無影響;
- (3) 電爐(或高爐)渣氯化鐵含量愈少,則硫分配比愈高;
- (4) 對低鹼度爐渣在一定鹼度範圍內,增加氯化鐵含量能使硫分配比加大。上列四種分歧的結論不是相互矛盾的,而是有內在聯繫的。它們說明氯化鐵在不同條件下顯示不同的作用,而這些不同的作用都可用上列公式統一地來表示。

由於假定二氧化矽以  $SiO_4^{4-}$  形態存在於爐渣中,這個公式不能應用於酸性渣,同時硫分配比與溫度的關係尚有待於進一步的闡明。

採用鹼性化鐵爐實際操作的數據進行計算,得知鹼性化鐵爐內的脫硫反應達到平衡。側吹鹼性轉爐由於有氣化去硫反應的存在,實際的硫分配比則較計算值為小。

## 参 考 文 献

- [1] Bardenheuer, P., Geller, W.: *Mitt. K. Wilh. Inst. Eisenforsch.*, 1934, **16**, 77.
- [2] Grant, N. J., Chipman, J.: *Trans. AIME*, 1946, **167**, 134.
- [3] Hatch, G. G., Chipman, J.: *Trans. AIME*, 1949, **185**, 274.
- [4] Rocca, R., Grant, N. J., Chipman, J.: *Trans. AIME*, 1951, **191**, 319.
- [5] Bishop, H. L., Lander, H. N., Grant, N. J., Chipman, J.: *Trans. AIME*, 1956, **206**, 862.
- [6] Самарин, А. М., Шварцман, Л. А., Текущий, М.: *Ж. физ. химии*, 1946, **20**, 111.
- [7] Борнацкий, И. И., 胡可夫譯: 平炉鋼脫硫, (冶金工业出版社, 1953年), 8頁, 11—12頁, 108頁.
- [8] Самарин, А. М., Шварцман, Л. А.: *Изв. АН СССР, Отд. техн. н.*, 1948, (9), 1437.
- [9] Текущий, М.: *Ж. физ. химии*, 1946, **20**, 105.
- [10] 魏寿崑: 活度在冶金物理化学中的应用, (中国工业出版社, 1964年).
- [11] 上海冶金工业局: 全国炼炉会议资料汇编, 第一辑, (上海科技出版社, 1959年), 53—57頁, 80—81頁.
- [12] Carter, S. E.: *Trans. Am. Foundrymen's Soc.*, 1953, **61**, 52.
- [13] 作者个人搜集資料.
- [14] Filer, E. W., Darken, L. S.: *Trans. AIME*, 1952, **194**, 253.
- [15] 魏寿崑、王 遂、王光耀、万天麟: 北京钢铁学院 1952—1962 年論文集, 炼鋼部分, (北京钢铁学院, 1962年), 1—20頁.
- [16] Томашин, И. А., (Шварцман, Л. А.): *Изв. АН СССР, Отд. техн. н.*, 1956, (10), 122.

## THE EFFECT OF THE IRON OXIDE CONTENT IN MOLTEN SLAGS UPON DESULPHURIZATION

WEI SHOU-KUN

*(Peking Institute of Ferrous Metallurgy)*

### ABSTRACT

As regards the effect of the iron oxide content of molten slags upon desulphurization in iron- and steelmaking, different conclusions have been given in the literature:

(1) pure iron oxide slag has a desulphurizing effect and gives a sulphur-distribution ratio of 3.6 at 1600°C;

(2) variation of the iron oxide content of openhearth slags from 3 to 70% has practically no effect upon the sulphur-distribution ratio;

(3) with electric furnace (or blast furnace) slags, the less the iron oxide content, the higher the sulphur-distribution ratio; and

(4) with less basic slags within a certain range of basicity, increase in the iron oxide content brings about an increase in the sulphur-distribution ratio.

In the present paper, through calculations with the help of the sulphur-distribution ratio formula:

$$\frac{(\% \text{S})}{[\% \text{S}]} = \frac{2.56f_s}{\gamma_{\text{S}} -} \cdot \frac{\Sigma n_+ \Sigma n_-}{n_{\text{FeO}}}$$

derived from the complete-ionization theory of slag constitution and with the introduction of activity coefficients, it has been shown that the above-mentioned four conclusions are not contradictory against one another, and between them there exists an intimate relation. They simply signify that under different conditions iron oxide exerts different actions, and all these different actions could be amalgamated and generalized under the same formula.

On the assumption that  $\text{SiO}_2$  is present as  $\text{SiO}_4^{4-}$  in the slag, the formula is not suitable for application to acid slags, while at the same time the effect of temperature upon the sulphur-distribution ratio needs further investigation.

The formula has been used to evaluate the sulphur-distribution ratio of basic cupola and basic side-blown converter slags from data in actual practice, and the following results have been obtained:

(1) desulphurization in the basic cupola practice has practically reached equilibrium; and

(2) in basic side-blown converter practice, owing to the presence of gaseous desulphurization, the sulphur-distribution ratio found in actual practice is less than that calculated from the formula.